

北海道大学工学部 正員 工博 尾崎 晃

大学院 学生員 ○沢村寿男

工学部 学生員 新井泰澄

1. 語言

捨石と各種異型コンクリートブロックによって形成されたマウンド又は斜面における消波効果を解明するため昨年度に引き続き空隙内にかける流れの抵抗法則に関する基礎的な研究を行つた。過去におけるこの種の問題に関する研究は、層流状態のDarcyの法則が成立する範囲内ではあるが、乱流域での研究はその数が極めて少ないので、このような透過構造物中を流れる水の流れは、急拡急縮した断面を集中分散しながら流れている。この空隙内の流れを管の流れとして取扱うことにより、管路についての既知の理論と比較しつつ、実際の流れを推定しようとするものである。解析を容易とするため前回の表面粗度の小さく同一粒径のガラス球を用いて実験を行つたが、今回はガラス球についてはレイルズ数のより大きい領域まで測定範囲を拡張し、また実際の捨石マウンドの機構に近づくため粒度の違う碎石とともに使用した。尚今回の実験は定常流に限られた。

2. 実験装置と方法

透過構造物の長さは、 $l = 30\text{cm} \times l = 25\text{cm}$ の透明アクリル樹脂の円管($D = 20\text{cm}$)を用い、その中に被透水体(ガラス球・碎石)を填充して、使用したガラス球は半球形で直径 $d = 1.22\text{cm}, 2.36\text{cm}, 2.91\text{cm}$ であり、碎石は同じく $d = 10\text{mm}, 15\text{mm}, 20\text{mm}, 25\text{mm}, 30\text{mm}, 40\text{mm}$ の 5 種である。ガラス球の一層当たりの球の数は平均して径の小さな方より順に、214個、52個、37個であり、碎石は179個、96個、64個、25個であった。尚ここで使用した碎石の中、 $d = 20\text{mm} \sim 25\text{mm}$ のものだけは種類が別で、玉石を碎いた碎石のため多少滑らかな面を持ち、残りの全では、滑らかな面は全くない碎石であった。流量はポンプと透過構造物との間にオリフィスを設置し、水銀マノメーターにより測定した。損失水頭及び流入損失測定は、左右同じ高さに設けた各 6 個、計 12 個の穴をマノメーターに接続した。配置は図-2 の通りである。図-2-I は流入損失測定のため被透水体を入れる籠を短くしたものである。各種の被透水体に関する損失水頭は図-2-II の配置で測定した。

3. 透過構造物内の定常流について

本実験によつて得られた結果を抵抗係数と Re 数との関係で表すために昨年と同様に次のよう仮定を設け、ガラス球と碎石との比較を試めた。つまり透過構造物を空隙の大きさを代表する3径を持つて多数の管の集合体と仮定した。この考えに基づき、透過構造物内の流れを空隙の大きさを代表す

図-1 実験装置

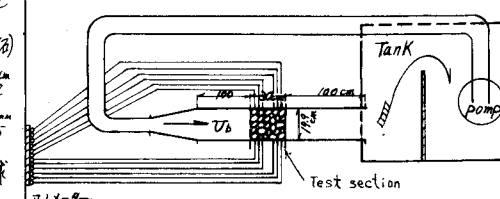
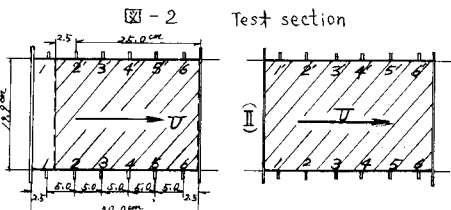


図-2



る径をもつた管路内の流れとして扱うこととした。本研究では透過構造物内の空隙配置の実態を知るために構造物を後述の方法で切断し、その結果得られた実測空隙面積の平均を A_{mean} として有効流断面積とし、一方流速 $U_{eff} = Q/A_{mean}$ (Q : 流量) と仮定し、この U_{eff} と表-2に提案されてる d_{eff} を用いて抵抗係数 $f_{eff} = S \cdot d_{eff}^{2/3}/U_{eff}^2$ 、 $R_{eff} = \frac{U_{eff} \cdot d_{eff}}{\sqrt{f_{eff}}}$ と定義して実験結果を整理すると図-3の C_4 のようになる。従来用いられてる $f_D = S \cdot d^{2/3}/U_D^2$ と $R_D = \frac{U_D \cdot d}{\sqrt{f_D}}$ の関係、更に N.T. Reodroff の提案した $f_p = f_D/n^4$ 、 $d_p = d \cdot n^{1/6}$ の関係を用いて整理したものと、それや C_2 、 C_3 として図-3に示した。 C_2 における仮定は N.T. Reodroff が行なった実験についての球径 d ($d = 0.096 \text{ cm} \sim 0.917 \text{ cm}$) で、円筒の径に比して著しく小さいため実際の平均断面積と它を乗じて得た平均空隙断面積の差は少ないが本実験の場合、粒径が大きく管軸方向にはば等方的に詰められても、それと直角方向には、その空隙部分が等方性とは考えられない状態であって、極端に平均断面とは異る。従って、透過構造物内の流れの損失を扱うには実際の空隙断面積の平均とその時の流速を用いて表わした抵抗係数 C_4 を取るのが妥当であろう。しかし、 C_4 の仮定において潤滑を求めるために後述するような作業を必要とし、かなり困難で精度が問題となる。

ここで空隙面積の全面積に対する空隙率を P とすると

$$\frac{A_T}{A_T} = P \quad \dots (1)$$

さて空隙面積は

$$A_T = A_T \cdot P = a^2 P \quad \dots (2)$$

1つの空隙面積の円の数を m とすると

$$\frac{a^2 P}{m} \quad \dots (3)$$

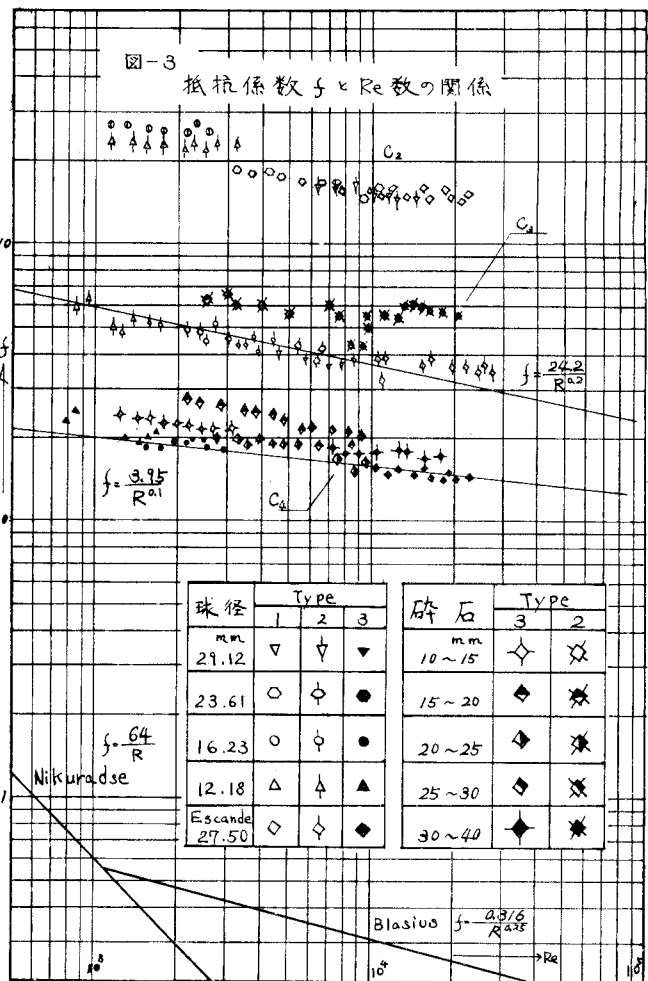
その空隙の面積を円の面積に換算

$$\frac{\pi r^2}{4} = \frac{a^2 P}{m} \quad \dots (4)$$

表-1

碎石	10~15 mm	15~20 mm	20~25 mm	25~30 mm	30~40 mm
n	0.0249	0.0326	0.0486	0.0390	0.0480
d cm	1.25	1.75	2.25	2.75	3.50
$d \times n^{1/3}$ cm	0.9398	1.324	1.638	2.090	2.698
$A \times n^{3/2}$ cm ²	175.79	177.00	174.02	179.65	184.74
A_{mean} cm ²	133.91	142.22	129.22	141.02	132.11
A_{mean}/A_{total}	0.9305	0.4573	0.4155	0.4534	0.4268

図-3 抵抗係数 f と Re 数の関係



よって換算された円の直徑Yは

$$Y = \sqrt{\frac{4a^2 P}{m\pi}} \quad \dots \quad (5)$$

正方形のときから円の場合へ応用すると

$$Y = \sqrt{\frac{4P}{m\pi} \left(\frac{\pi}{4} D^2 \right)} = D \sqrt{\frac{P}{m}} \quad \dots \quad (6)$$

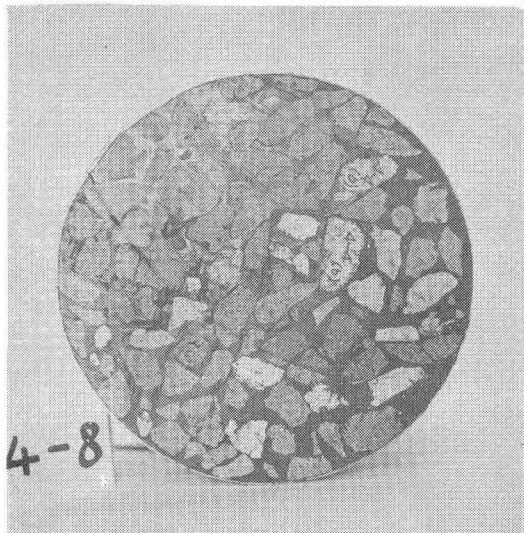
(6)式による計算値Yを表-2で実測値(4R)およびN.T. Froud'sの仮定 $d_{n^{1/3}}$ と比較してある。ガラス球の場合、(6)式による計算値Yは $A_{n^{1/3}}$ が生ずる断面の径深Rの4倍に、また $d_p = d_{n^{1/3}}$ とはほとんど一致している。これは(6)式の仮定で被透水体を円と考えてお

り、ガラス球の場合にはモデルはほとんど一致していると考えられる。一方碎石の場合(6)式のYは $d_p = d_{n^{1/3}}$ と一致するが、実測値4Rよりは大きい。ただし、Rは仮想径深。実測値4Rを求める際の潤辺が碎石の場合複雑に入り組み大きい値となり、4Rは潤辺に反比例して小さくなっている。しかしその傾向はYと4Rの比(Y/4R)が1.5~1.6と変動が少ないのでから考え、碎石の形状による係数をみてよいのではないか。昨年度の第1報におけるよりも大きいRe範囲まで測定した結果図-3のようにガラス球は

同じような被透水体で実験を行なったEscandeの実験

結果を換算してプロットした点と一致した結果を得ることができる。碎石の場合には抵抗係数がガラス球の半分以下の値を示し、この差は表面粗度による抵抗が大きく影響していると考えられるが、屈曲、断面の変化、合流等の全ての抵抗も変化していると考えられ、空隙内機構が充分解析されていない現段階では結論を下せない。

写真 碎石 $d = 1.5 \sim 2.0 \text{ cm}$



4-8

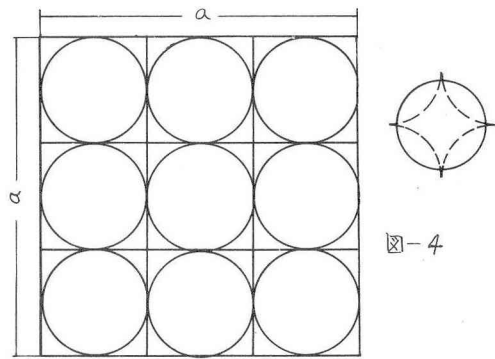
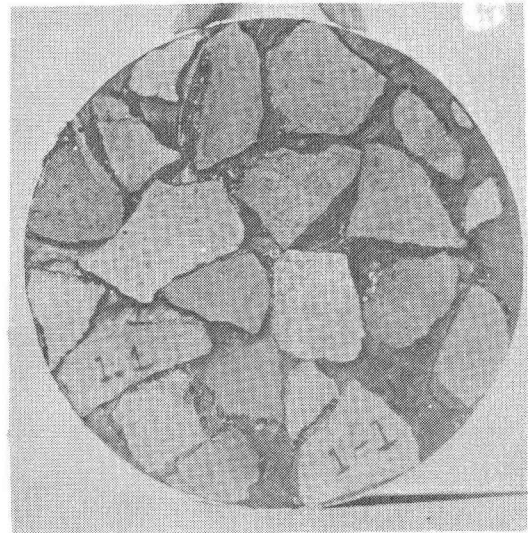


図-4

表-2

$d \text{ cm}$	$d_p = d \times n^{1/3}$	$4R$	$Y = D \sqrt{\frac{P}{m}}$
1.218	0.866	0.951	0.893
2.361	-	-	-
2.912	2.151	2.089	2.149
1.0 ~ 1.5	0.9398	0.8904	0.9732
1.5 ~ 2.0	1.3235	0.906	1.3780
2.0 ~ 2.5	1.6830	1.009	1.6034
2.5 ~ 3.0	2.0900	1.441	2.0927
3.0 ~ 4.0	2.6978	1.583	2.5940

$d = 3.0 \sim 4.0 \text{ cm}$



写真は空隙断面の変化の測定に使用した代表的断面である。Test section の透過構造物と同じ条件をうるため、内径 $D = 20\text{cm}$ のブリキの同筒を作成し、測定に使用した碎石を筒の下部詰め、アスファルトを注入して固定し、それをダイヤモンドカッターで 0.5mm 間隔毎に切削したものである。これより空隙の断面積を求めて。

4. 流入損失と空隙の関係について

流入損失とのものを直接、数値を表わす：と日本実験では本来ないが、空隙内の損失勾配と流入部附近での損失勾配とを比較するところにより、空隙の大きさに関する相異を傾向としてだけはあるが、知ることが出来た。空隙の形が大きい流入部では損失が大きくれてきており、これがつて流入部表面の損失が関係すると推定される。空隙内では空隙断面の変動が多い被透水体の小さな球が構成されて構造物程損失が大きい。

5. 結論

図-3より解るように、各3つの仮定においていずれも碎石の抵抗係数が、ガラス球のチャリ少しだ大きくできており、これは空隙の状態の解明が充分されていない故に、現在結論を急ぐことは出来ないが、表面粗度の影響を考えられる。C4の仮定において定義された $\gamma = D \frac{P}{R}$ は $d_p = D \cdot n^{1/3}$ と同じ値を示しており、従って $d_p = D \cdot n^{1/3}$ を用いた方が簡単で良い。尚、これら2つの仮定のいずれを用いても碎石による3~4Rの実測値の1.5~1.6倍を示す。従って抵抗係数の計算に当っては1.5~1.6と碎石の形状による係数をみて換算して直(仮想径深)を用いた方が、実際の流れにより近い解析ができる。透過構造に流れが入り込む場合には、空隙内に流入する瞬間にかけて断面の形状、空隙面積の大小により異った一種の流入損失がenergy-lossに大きな影響していることが解ったが、断面の形状、空隙の大きさ、その分散度から上述の表-3の結果がlinearに変化することは考えられず、この点について非定常流の流入部分における衝撃的energy-lossを平行して研究を進めている。

参考文献

- 1) M.L.Escande ; Perte de charge à la traversée d'un milieu perméable constitué de sphères identiques, Académie des Sciences 1962
- 2) 室出明、佐藤邦男；地下水の抵抗法則に関する基礎的研究，第21回年次学術講演会講演集 昭41.
- 3) N.V. Feodrotte and B.A. Bakhmeteff ; Flow through granular media. Trans. A.S.M.E. Vol. 59. 1937
- 4) 国田靖夫；名古屋港高潮防波堤の洗掘防止に対する一考察、土木技術 1964
- 5) 応用水理学 I, II.丸善出版

表-3

Q_1	流入 損失 S_1	空隙内 損失 S_0	S_1/S_0	Q_1	流入 損失 S_1	空隙内 損失 S_0	S_1/S_0
15.29	13.9	6.65	2.093	15.00	11.7	9.25	1.276
14.20	12.0	5.7	2.105	14.19	10.8	7.78	1.388
12.88	9.9	4.6	2.152	13.18	9.6	6.77	1.416
11.79	8.6	4.0	2.150	12.30	8.2	5.95	1.378
11.07	7.4	3.5	2.114	11.32	7.2	5.08	1.417
8.95	5.0	2.4	2.073	9.08	4.6	3.36	1.370